

پترولوزی، سال هفتم، شماره بیست و ششم، تابستان ۱۳۹۵، صفحه ۱۳۵-۱۵۲
تاریخ دریافت: ۱۳۹۴/۰۷/۰۶ تاریخ پذیرش: ۱۳۹۴/۰۲/۲۹

سنگشناسی، ژئوشیمی و جایگاه زمین‌ساختی توده‌های نفوذی محدوده جنوب‌باختری سرخکوه (بلوک لوت، خاور ایران)

احمد حسینخانی، محمدحسن کریم‌بور *

گروه پژوهشی اکتشاف ذخایر معدنی خاور ایران، دانشکده علوم، دانشگاه فردوسی مشهد، خراسان رضوی، ایران

چکیده

محدوده جنوب‌باختری سرخکوه در ۱۲۰ کیلومتری جنوب‌باختری شهر بیرجند قرار گرفته و بخشی از مجموعه آتشفسانی-آذرین درونی ترسیری در باختر بلوک لوت است. زمین‌شناسی منطقه شامل سنگ‌های آتشفسانی با ترکیب آندزیت و بازالت بوده که نفوذ توده‌های نفوذی در مراحل زمانی متفاوت با ترکیب هورنبلندریت، هورنبلندریت، هورنبلندریت پورفیری، هورنبلندریت پورفیری و بیوتیت کوارتزمونزونیت در آنها موجب دگرسانی گستردگی شده است. بافت توده‌های نفوذی منطقه بیشتر پورفیری، گرانولار و پوپی کیلیتیک است. کانی‌های اصلی تشکیل‌دهنده این توده‌های نفوذی هورنبلندر و پلازیوکلاز بوده و در بیوتیت کوارتزمونزونیت کانی‌های بیوتیت و کوارتز نیز حضور دارند. ترکیب توده‌های نفوذی در محدوده متالومینوس تا کمی پرآلومینوس بوده، اغلب ماهیت کالک‌آلکالن دارد اما برخی توده‌های دیوریتی ماهیت تولیتی نیز دارند. توده‌های نفوذی منطقه در محدوده گرانیت‌های کمان‌های آتشفسانی واقع شده و متعلق به گرانیتوییدهای سری مگنتیت (یا I) هستند. در بررسی عناصر فرعی و خاکی نادر، غنی‌شدگی عناصر (LILE، Ba، K، Cs و Sr) و کاهیدگی عناصر (Ti و P، Nb، HFSE) و غنی‌شدگی عناصر LREE نسبت به HREE دیده می‌شود که از ویژگی‌های شاخص ماغماتی تولید شده در پهنه فرورانش است. مقادیر بالای (Eu/Eu*) در دیوریت کالک‌آلکالن و تولیتی (بین ۰/۸-۰/۹) و در بیوتیت کوارتزمونزونیت (۱/۵) و همچنین، غنی‌شدگی Sr به ویژه در توده بیوتیت کوارتزمونزونیت (۹۰۰ ppm) نشان‌دهنده نبود پلازیوکلاز در خاستگاه این ماغمات است. تهی‌شدگی Nb و مقدار بالای Zr/Nb آلودگی اندک ماغما با پوسته قاره‌ای را نشان می‌دهد. مقدار نسبت (La_N/Yb_N) نیز کم بوده، بین ۵-۹ متفاوت است. ماغماتی مولد توده‌های نفوذی از حدود ۱ تا ۵ درصد ذوب‌بخشی گارنت-اسپینل لرزولیت (با مقدار کم گارنت) و در عمق حدود ۶۰ کیلومتر گوشه‌بهایی تشکیل شده است. واژه‌های کلیدی: تولیتی، کالک‌آلکالن، گرانیتویید، توده‌های نفوذی، جنوب‌باختری سرخکوه، بلوک لوت

مقدمه

شهر بیرجند، جنوب شهر خور و نزدیک به مرز سه

استان خراسان جنوبی، یزد و کرمان قرار گرفته و

مختصات آن به صورت عرض جغرافیایی ۱۲° ۳۲'

محدوده جنوب‌باختری سرخکوه در استان

خراسان جنوبی، ۱۲۰ کیلومتری جنوب خاوری

* karimpour@um.ac.ir

Copyright©2016, University of Isfahan. This is an Open Access article distributed under the terms of the Creative Commons Attribution License (<http://creativecommons.org/licenses/BY-NC-ND/4.0/>), which permits others to download this work and share it with others as long as they credit it, but they cannot change it in any way or use it commercially.

در سال‌های اخیر نیز مطالعات ژئوشیمیایی، سن‌سنجی و پتروژنر بر روی توده‌های مختلف ترسیمی در بلوك لوت انجام گرفته است که از جمله آن می‌توان Malekzadeh (Malekzadeh, 2012), Noghondar (Moradi Noghondar, 2012), Shafaroudi (Shafaroudi, et al., 1982), Lotfi (Lotfi, 2012), شوراب (Shorab, 2012) (Nayebi et al., 2013), کوهشاد (Malekzadeh et al., 2013), کوهشاد (Abdi and Karimpour, 2012), چاهش‌لجمی (Arjmandzadeh et al., 2011b) و غیره اشاره نمود. این نتایج اغلب نظریه فرورانش را تقویت می‌بخشند (Karimpour et al., 2012). همچنین، نتایج سن‌سنجی بر روی توده‌های نفوذی مختلف در بلوك لوت، پنجه زمانی ۴۲ تا ۳۳ میلیون سال قبل (اووسن-الیکومن) را برای تشکیل این توده‌ها نشان می‌دهد (Karimpour et al., 2012).

با توجه به قارگیری محدوده جنوب‌باخته سرخ‌کوه در بخش باخته بلوك لوت و دور از دسترس بودن آن، ابهامات زیادی در این آنچا وجود داشته و تاریخچه مطالعات انجام شده در این منطقه شامل نقشه‌های تهیه شده در مقیاس ۱:۲۵۰۰۰ (Nayebi et al., 1981)، نقشه ۱:۱۰۰۰۰ (Kluyver et al., 1981) و سه‌چنگی (Blurian, 2004) و گزارش Tarkian همکاران (1983) است و به طور کلی، مطالعات انجام شده بر روی آن اندک است. بر اساس این نقشه‌ها توده‌های نفوذی نیمه عمیق و عمیق منطقه وجود دارند که خاستگاه کانی‌سازی‌هایی مانند کانسارهای مس پورفیری هستند. بنابراین، اهمیت مطالعه پتروژنر این توده‌ها برای تشخیص توده‌های عقیم و بارور مرتبط با کانی‌سازی مس پورفیری مهم است. هدف از این پژوهش مطالعات سنگ‌شناسی و تهیه نقشه زمین‌شناسی دقیق با تأکید بر تفکیک توده‌های نفوذی-نیمه‌عمیق، بررسی ژئوشیمی توده‌های نفوذی، جایگاه زمین‌ساختی این توده‌ها و در نهایت خاستگاه توده‌ها در این بخش از بلوك لوت است.

تا $14^{\circ} 32'$ شمالی و طول جغرافیایی $58^{\circ} 20'$ تا $58^{\circ} 23'$ خاوری است.

از دیدگاه زمین‌شناسی منطقه جنوب‌باخته سرخ‌کوه در بخش باخته بلوك لوت واقع شده است. بلوك لوت بخشی از خرد قاره ایران مرکزی است که بین گسل‌های نهندان (در خاور)، نایبند (در باخته)، درونه و کلمرد (در شمال) و فرونژنست جازموریان (در جنوب) قرار دارد (Aghanabati, 2004).

زمین‌شناسی این بخش از ایران به‌علت دور از دسترس بودن مورد ابهامات بسیاری است اما به‌طور کلی از زمان مژوزویک به بعد به عنوان بلوك قاره‌ای مقاومی بوده که از حاشیه گندوانا جدا شده و به سمت شمال حرکت نموده و دریای نئوتیس را تشکیل داده است (Dercourt et al., 1986; Hooper et al., 1994; Scotese, 2001) و در اوایل ژوراسیک این قطعه به بخش جنوبی اوراسیا پیوسته است (Dercourt et al., 1986).

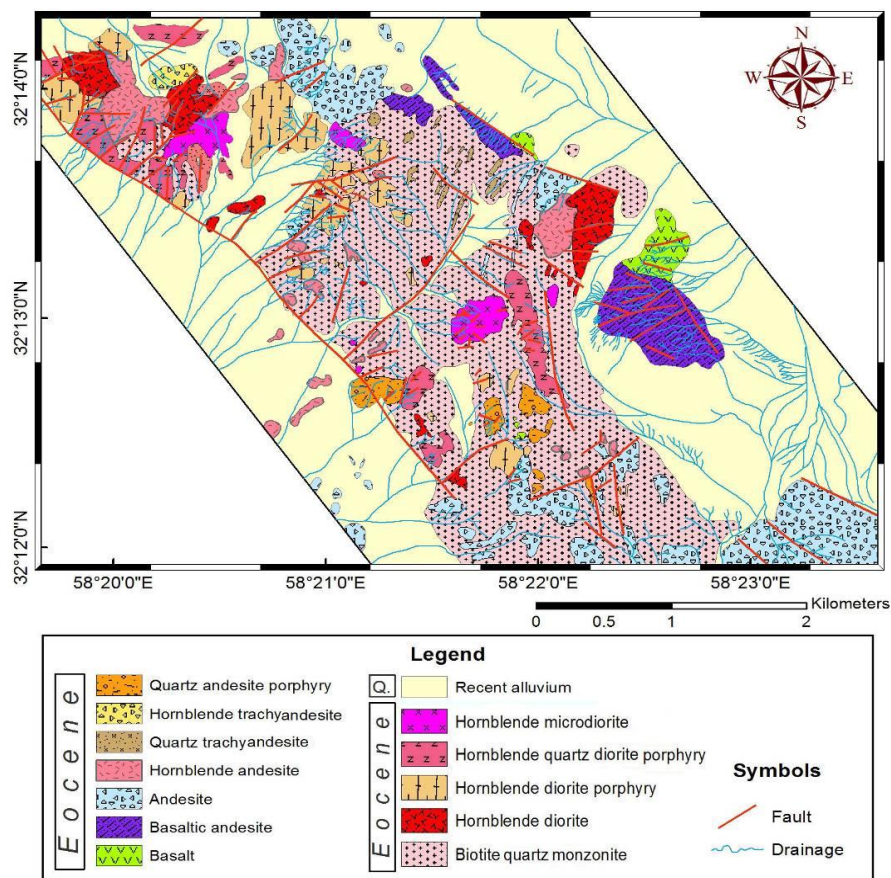
سنگ‌های بخش بالایی پوسته در بلوك لوت شامل شیل‌های مژوزویک و کربنات‌ها هستند که با مرزهای گسلی در مجاور افیولیت‌های کرتاسه قرار دارند و پس از آنها سنگ‌های آذرین بیرونی و نفوذی‌های سنوزویک دیده می‌شوند. این بخش از ایران هم اکنون دچار بالآمدگی نسبی شده که ارتفاع آن بین ۱۵۰۰ تا ۲۰۰۰ متر متغیر است. رسوبات ماسه بادی مربوط به کواترنر اغلب بخش‌های بلوك لوت (از جمله بخش جنوبی آن یعنی دشت لوت) را پوشانده است.

فعالیت‌های ماقمایی در بلوك لوت گسترده بوده و این فعالیت‌ها به پدیده‌هایی مانند فرورانش (Camp and Griffis, 1982; Tirrul et al., 1983) و حتی فرورانش دوسویه (Jung et al., 1983) نسبت داده شده‌اند، که دامنه سنی ژوراسیک تا کواترنری را می‌توان برای آنها در نظر گرفت (Karimpour et al., 2011).

حضور کانی‌های مافیک را می‌توان به دو دسته سنگ‌های بیرونی و سنگ‌های نیمه‌عمیق-دروندی تقسیم کرد. سنگ‌های بیرونی شامل بازالت، آندزیت بازالتی، (Basaltic Andesite)، آندزیت، هورنبلند آندزیت، هورنبلند تراکی آندزیت، کوارتز تراکی آندزیت، کوارتز آندزیت پورفیری و کریستال توف و سنگ‌های نیمه‌عمیق-دروندی شامل هورنبلند دیوریت، هورنبلند دیوریت پورفیری، هورنبلند کوارتز دیوریت پورفیری، هورنبلند میکرو دیوریت و بیوتیت کوارتز مونزونیت هستند (شکل ۱).

زمین‌شناسی منطقه

محدوده جنوب‌باختری سرخ‌کوه در بخش شمالی برگه ۱:۱۰۰,۰۰۰ جنوب سه‌چنگی (Blurian, 2004) واقع شده است که بر اساس نقشه زمین‌شناسی جنوب سه‌چنگی، سنگ‌های اصلی منطقه از سه واحد لاتیت آندزیت-کوارتز لاتیت-کریستال توف، هورنبلند آندزیت-پیروکسن آندزیت با سن اوسن و دیوریت پورفیری (با سن جوانتر از اوسن) تشکیل شده‌اند. در مطالعات میکروسکوپی مقاطع نازک، سنگ‌های آذرین بر اساس ترکیب سنگ‌شناسی، بافت و



شکل ۱- نقشه زمین‌شناسی از منطقه جنوب‌باختری سرخ‌کوه (بلوک لوت، خاور ایران) در مقیاس ۱:۵۰۰۰

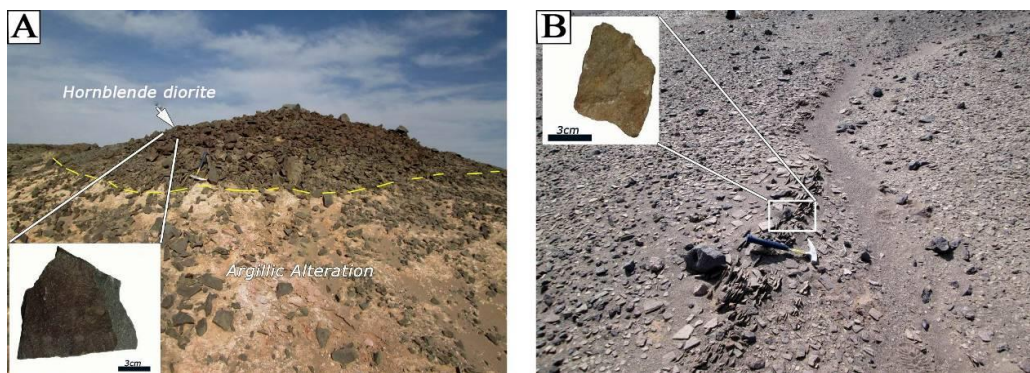
سنگ‌ها دارای رنگ خاکستری تا تیره و رنگ سطح تازه آنها سبز تیره است. کانی‌های پلازیوکلاز و گاهی پیروکسن در مقیاس ماکروسکوپی را می‌توان در آنها

سنگ‌های آذرین بیرونی دارای گسترش کمی بوده و بیشتر محدود به بخش‌های خاوری و جنوبی نقشه بوده و ارتفاعات بلندتری در منطقه دارند. این گروه از

را می‌توان در آن تشخیص دید. روابط سنی نسبی بین واحدهای مختلف در منطقه نشان می‌دهد که سنگ‌های آذرین بیرونی قدیمی‌ترین واحدهای منطقه را تشکیل داده که سپس توده نفوذی بیوتیت‌کوارتزمنزونیت در آن نفوذ کرده است. توده‌های نیمه‌عمیق با ترکیب غالباً دیوریتی آخرین فاز مagma‌تیسم در منطقه هستند که توده بیوتیت‌کوارتزمنزونیت را قطع و به درون آن نفوذ کرده‌اند. توده‌های نفوذی با ترکیب غالباً دیوریتی نیز در صحرابیشتر رنگ تیره متمایل به سبز داشته (شکل ۲-۱) و می‌توان پلازیوکلاز و هورنبلند را در مقیاس ماکروسکوپی در آن تشخیص داد.

فعالیت‌های زمین‌ساختی در منطقه جنوب‌باختری سرخ‌کوه به طور عمده شامل گسل‌های امتداد‌لغز با راستای شمال‌باختر-جنوب‌خاور و شمال‌خاور-جنوب‌باختری هستند. همچنین، گسل‌های حاصل از نفوذ توده‌های نفوذی به صورت گسل‌های کوچک شعاعی دیده می‌شوند (شکل ۱).

تشخیص داد. سنگ‌های نیمه‌عمیق و درونی به درون واحدهای آذرین بیرونی نفوذ کرده و موجب دگرسانی (سریسیتی، آرژیلیک، پروپیلیتیک، کربناتی و سیلیسی) و کانی‌سازی (پراکنده دانه، رگه‌ای و رگچه‌ای) در آن شده‌اند (شکل ۲-۲) که خارج از بحث این مقاله است. در مجموع توده‌های نفوذی در منطقه احتمالاً مرتبط با کانی‌سازی مس پوروفیری هستند (Hosseinkhani, et al., 2015). در بخش‌های مرکزی محدوده توده بیوتیت‌کوارتزمنزونیت گسترش در خور توجهی داشته و توده‌های هورنبلند‌دیوریت، هورنبلند میکرو‌دیوریت، هورنبلند کوارتز‌دیوریت پوروفیری، هورنبلند پوروفیری به صورت تپه ماهورهای کوچک به درون بیوتیت‌کوارتزمنزونیت نفوذ کرده است (شکل ۲-۱). بیوتیت‌کوارتزمنزونیت با رنگ روشن به صورت رخ‌منون بدون دگرسانی در بخش‌های خاوری منطقه دیده می‌شود. این توده نفوذی رنگ سفید متمایل به قهوه‌ای داشته (شکل ۲-۲B)، پلازیوکلاز، آلکالی‌فلد‌سپار و بیوتیت



شکل ۲- تصویرهای صحرایی از منطقه جنوب‌باختری سرخ‌کوه (بلوک لوت، خاور ایران). (A) توده نفوذی هورنبلند‌دیوریت پوروفیری که به درون واحد بیوتیت‌کوارتزمنزونیت دارای دگرسانی آرژیلیک نفوذ کرده است؛ (B) رخ‌منون بیوتیت‌کوارتزمنزونیت به همراه نمونه برداشت شده از آن.

منطقه جنوب‌باختری سرخ‌کوه با تأکید بر توده‌های نفوذی.

۳- انجام ۲۲ آنالیز XRF بر روی توده‌های نفوذی دارای حداقل دگرسانی (که با مطالعه مقاطع نازک مشخص شدند) برای اندازه‌گیری اکسیدهای اصلی توده‌های نفوذی، در شرکت کانسaran بینالود ایران با دستگاه فیلیپس مدل 1480 PW.

روش انجام پژوهش
مراحل مختلف انجام این پژوهش به‌طور خلاصه عبارت است از:

- بازدید صحرایی، نمونه‌برداری از واحدهای سنگی مختلف و تهیه و مطالعه ۱۲۰ مقطع نازک برای مطالعات سنگ‌نگاری.
- تهیه نقشه زمین‌شناسی در مقیاس ۱:۵۰۰۰ از

بیشتر کانی پلازیوکلاز دچار این دگرسانی‌ها شده است (کمتر از ۲ درصد حجمی). بیوپتیت نیز به اکسیدهای آهن ثانویه (۱ درصد حجمی) و هورنبلند به اندرکی به اپیدوت دگرسان شده است. ارتباط بین کانی‌ها در این توده به صورت تماسی است.

هورنبلند دیوریت: این سنگ تقریباً مشابه دیوریت پورفیری بوده و تنها تفاوت آن ویژگی‌های بافتی است. بافت هورنبلند دیوریت گرانولار است. کانی‌های اصلی متشكل از پلازیوکلاز (۶۵ درصد حجمی) تا ۱ میلیمتر و هورنبلند (۳۰ درصد حجمی) تا ۱ میلیمتر است (شکل ۳-B). کانی‌های فرعی شامل کانی‌های کدر با فراوانی ۳ درصد حجمی به صورت بلورهای شکل‌دار و بی‌شکل و با اندازه حداقل ۱۰۰ میکرون است. توده هورنبلند دیوریت نیز در بخش‌های دگرسان دچار دگرسانی کربناتی (حاصل از پلازیوکلاز) و اپیدوتی (حاصل از هورنبلند) شده است.

هورنبلند دیوریت پورفیری: بافت این سنگ بافت پورفیریتیک بوده، به‌ندرت بافت پویی کیلیتیک و گلومرولیتیک در آنها دیده می‌شود. میزان درشت بلورها حدود ۵۰ درصد حجمی سنگ بوده، شامل پلازیوکلاز (حدود ۳۵ درصد حجمی) و هورنبلند (۱۵ درصد حجمی) است (شکل ۳-C). درشت بلورها عمدتاً شکل‌دار تا نیمه‌شکل‌دار هستند. خمیره سنگ نیز شامل پلازیوکلاز و هورنبلند است. کانی‌های فرعی شامل کوارتز و کانی‌های کدر هستند که کانی‌های کدر با فراوانی ۳-۴ درصد حجمی به صورت بلورهای شکل‌دار و بی‌شکل و با اندازه حداقل ۲۰۰ میکرون در سنگ حضور دارند. این توده در بخش‌های مرکزی بدون دگرسانی بوده و در مجاورت بیوپتیت کوارتز مونزونیت دگرسانی‌های کربناتی، اپیدوتی و سریسیتی‌شدن در آن غالب است. دگرسانی کربناتی (گاهی تا ۱۰ درصد حجمی) حاصل دگرسانی هورنبلند و پلازیوکلاز است.

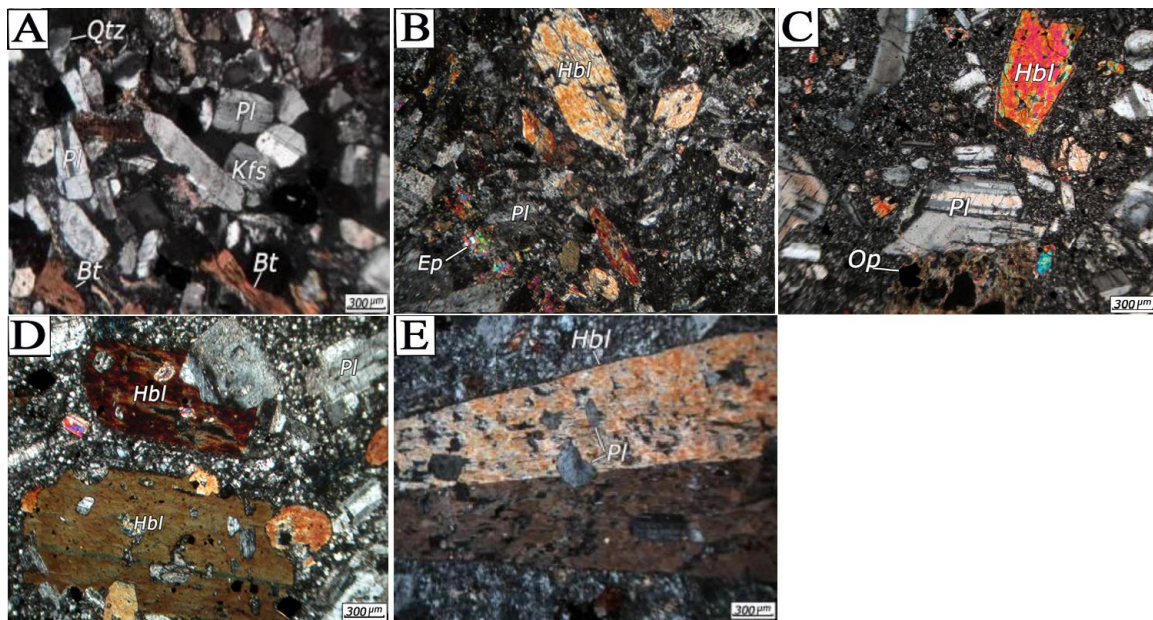
۴- انجام ۲۲ آنالیز ICP-MS برای اندازه‌گیری عناصر فرعی و خاکی نادر، در آزمایشگاه ACME کانادا بر اساس مطالعات سنگ‌شناسی و XRF روی توده‌های نفوذی دارای حداقل دگرسانی (روش آماده‌سازی نمونه‌ها روش ذوب قلیایی یا Lithium Fusion).

۵- تجزیه و تحلیل نتایج حاصل از آنالیزهای ژئوشیمیایی و استفاده از نرم‌افزارهای Igpet، GCDkit و ArcGIS

سنگ‌نگاری

در راستای تهیه نقشه زمین‌شناسی ۱:۵۰۰۰ و مطالعه سنگ‌نگاری توده‌های نفوذی تعداد ۱۲۰ مقطع نازک تهیه و مطالعه شد. در ادامه به شرح واحدهای اصلی توده‌های نفوذی پرداخته می‌شود.

بیوپتیت کوارتز مونزونیت: بافت این سنگ گرانولار است. کانی‌های اصلی شامل پلازیوکلاز (۴۵ درصد حجمی)، بیوپتیت (۲۰ درصد حجمی) آلکالی‌فلدسبار (۱۰-۱۵ درصد حجمی)، کوارتز (۵-۱۵ درصد حجمی) و هورنبلند (کمتر از ۵ درصد حجمی) هستند (شکل ۳-A). کانی‌های فرعی شامل کانی‌های کدر، آپاتیت و زیرکن هستند. کانی‌های کدر (۳ درصد حجمی) به صورت بلورهای شکل‌دار و بی‌شکل تا اندازه ۳۰۰ میکرون مشاهده می‌شوند و بیشتر مگنتیت هستند. چنین به نظر می‌رسد که پلازیوکلاز و مگنتیت در مراحل اولیه تبلور مagma تشکیل شده‌اند و پس از آن آلکالی‌فلدسبار، هورنبلند و سپس بیوپتیت و در مراحل نهایی تبلور سنگ کوارتز متبلور شده است. توده بیوپتیت کوارتز مونزونیت در مقیاس وسیع در منطقه متحمل دگرسانی سریسیتی و آرژیلیک (۹۰ درصد حجمی) شده است و تنها در بخش‌های خاوری منطقه (حاشیه توده نفوذی) رخنمون‌های بدون دگرسانی این توده وجود دارد که اندرکی سریسیتی، کربناتی و اپیدوتی شده است (که نمونه مطالعاتی از این بخش گرفته شد).



شکل ۳- تصاویر میکروسکوپی توده‌های نفوذی جنوب‌باختری سرخ‌کوه (بلوک لوت، خاور ایران) در نور XPL (A). (Cross Polarized Light) XPL (A). (Cross Polarized Light) XPL (B) یوپیت کوارتز-مونزونیت شامل پلاژیوکلاز، آکالی‌فلدسپار، کوارتز و بیوپیت با بافت گرانولار؛ (B) هورنبلند و پلاژیوکلاز که کانی‌های اصلی تشکیل‌دهنده هورنبلندی‌یوریت هستند. هورنبلند اندکی به اپیدوت دگرسان شده است؛ (C) کوارتز و پلاژیوکلاز با بافت پورفیریتیک به همراه کانی‌های کدر در هورنبلندی‌یوریت پورفیری؛ (D) کوارتز در بزرگنمایی بالا در توده هورنبلند کوارتز-دی‌یوریت پورفیری؛ (E) فنوکریست هورنبلند با بافت پوی کیلیتیک در هورنبلند میکرو‌دی‌یوریت که کانی پلاژیوکلاز را دربرگرفته است (Pl: پلاژیوکلاز، Kfs: آکالی‌فلدسپار، Bt: بیوپیت، Hbl: هورنبلند، Qtz: کوارتز، Ep: اپیدوت، Op: کانی کدر).

پورفیریتیک با خمیره میکرو‌گرانولار است. همچنین، بافت پوی کیلیتیک با دربرگرفته شدن پلاژیوکلاز توسط هورنبلند نیز مشاهده می‌شود (شکل ۳-۳). حدود ۳۷ درصد حجمی سنگ را درشت‌بلورها تشکیل داده که شامل پلاژیوکلاز (۲۵ درصد حجمی) تا اندازه ۰/۵ میلی‌متر، هورنبلند (حدود ۱۰ درصد حجمی) تا اندازه ۳ میلی‌متر، کمی کلینوپیروکسن (۲-۱ درصد حجمی) تا اندازه ۲۰۰ میکرون است. خمیره سنگ متتشکل از پلاژیوکلاز، کمی هورنبلند و کانی‌های کدر است. کانی‌های کدر حدود ۳ درصد حجمی به صورت بلورهای بی‌شکل با اندازه حدود ۲۰ میکرون دیده می‌شوند. آپاتیت کانی فرعی سنگ را تشکیل داده است. در مناطق دارای کانی‌سازی این توده دگرسان بوده و به طور عمده شامل کربناتی شدن پلاژیوکلاز (۵-۷ درصد حجمی) و تبدیل هورنبلند به کلریت و اپیدوت (کمتر از ۵ درصد حجمی) است.

هورنبلند کوارتز-دی‌یوریت پورفیری: بافت این سنگ پورفیریتیک است. حدود ۲۵ تا ۳۰ درصد حجمی درشت‌بلور بوده، دارای ۱۵ درصد حجمی پلاژیوکلاز تا ۲۰۰ میکرون، حدود ۱۰ درصد حجمی هورنبلند با اندازه ۱۵۰ میکرون و ۷-۵ درصد حجمی کوارتز تا ۱۰۰ میکرون است. خمیره سنگ شامل پلاژیوکلاز و کوارتز است. کوارتز **عمدتاً** در خمیره سنگ (به میزان ۱۵-۲۰ درصد حجمی) دیده می‌شود و کمتر تشکیل فنوکریست داده است (شکل ۳-۳). کانی‌های فرعی شامل بیوپیت و کانی‌های کدر (مات) هستند. کانی کدر حدود ۲ درصد حجمی سنگ را تشکیل داده و به صورت بلورهای بی‌شکل با اندازه ۱۰-۲۰ میکرون دیده می‌شوند. دگرسانی اندک این سنگ شامل تبدیل پلاژیوکلاز به سریسیت و کانی‌های ثانویه کربناتی (۴ تا ۵ درصد حجمی) است.

هورنبلند میکرو‌دی‌یوریت: بافت این سنگ

شده است. مقدار SiO_2 در این توده‌های نفوذی بین ۵۵ تا ۶۴ درصد وزنی متغیر است و بیشترین مقدار آن مربوط به توده بیوتیت‌کوارتز‌مونزونیت پورفیری و کمترین آن مربوط به هورنبلند‌میکرو‌دیوریت است.

ژئوشیمی

اکسیدهای اصلی: در جدول ۱ نتایج آنالیز اکسیدهای اصلی، عناصر فرعی و کمیاب در ترکیب سنگ کل توده‌های نفوذی جنوب‌باختری سرخ‌کوه ارائه شده است.

جدول ۱- نتایج ژئوشیمیایی عناصر اصلی (بر اساس درصد وزنی)، عناصر فرعی و خاکی نادر (بر اساس ppm) توده‌های نفوذی جنوب‌باختری سرخ‌کوه (بلوک لوت، خاور ایران).

Sample No.	S-16	S-22	S-23	S-25	S-26	S-33	S-35	S-36	S-38	S-39	S-46
X	58°21'52"E	58°22'0"E	58°21'53"E	58°20'21"E	58°22'25"E	58°20'35"E	58°20'24"E	58°20'15"E	58°21'52"E	58°20'42"E	58°20'16"E
Y	32°12'18"N	32°12'44"N	32°12'41"N	32°13'33"N	32°13'21"N	32°13'44"N	32°13'59"N	32°13'41"N	32°13'11"N	32°13'31"N	32°14'18"N
Rock type	5	2	3	3	4	5	4	3	2	4	2
SiO_2	60.01	59.39	60.58	59.85	60.57	59.61	60.24	55.01	58.75	64.73	56.12
TiO_2	0.618	0.551	0.501	0.686	0.474	0.639	0.457	0.534	0.669	0.382	0.523
Al_2O_3	17.76	18.24	17.91	17.64	17.83	18.12	17.81	16.01	18.13	17.34	18.24
FeO	5.89	5.28	5.18	5.74	5.68	5.98	5.41	6.71	5.95	2.46	6.72
MnO	0.18	0.11	0.12	0.115	0.087	0.214	0.05	0.034	0.088	0.019	0.14
MgO	2.19	2.19	2.57	2.92	2.98	2.33	2.86	7.57	2.64	2.54	4.28
CaO	6.14	6.34	5.63	6.02	5.56	6.17	4.21	6.58	6.68	3.72	6.11
Na_2O	3.12	3.07	2.89	2.62	2.72	2.89	3.57	3.52	3.01	5.86	3.25
K_2O	1.68	2.11	1.89	1.53	2.18	1.84	2.42	0.52	2.19	0.4	1.15
P_2O_5	0.069	0.068	0.066	0.071	0.062	0.075	0.056	0.056	0.074	0.048	0.074
L.O.I.	1.69	2.32	2.45	2.38	1.84	2.39	2.61	2.15	2.51	1.49	2.88
Sum	99.86	99.67	99.8	99.6	100.0	100.3	99.7	98.7	100.7	99.7	99.5
Ba	533	579	515	534	603	582	759	295	568	186	337
Co	17	16	15	16.3	15.2	17.6	12	18.8	17.2	5.2	13.8
Cs	2	4.9	3.2	4.1	2.6	2.3	10.5	2.9	4.3	7.4	3.1
Ga	16	17	15	14.5	14.1	14.6	15	14.5	15.4	14.4	14.7
Hf	3.5	3.8	4	3	2.8	3.3	3	2.3	3.1	3.5	3
Nb	5.8	7.3	5.9	6.2	5.3	6.1	5.4	4.1	6.8	6.6	5.7
Rb	53	77	71	72.8	69.3	51.3	72	18.4	76.3	18.5	48.6
Sr	491	471	399	404.2	544.6	493.7	678	693.6	474.9	971.7	498.6
Ta	0.4	0.6	0.6	0.5	0.3	0.5	0.4	0.3	0.5	0.5	0.3
Th	6	7.5	7.6	7.9	6.3	5.8	7.3	4.8	7.8	8.9	5.2
U	1.8	2.9	2.1	2.6	2.2	2.1	2.5	1.7	2.7	3.1	1.8
V	178	149	135	139	142	183	141	198	153	104	173
W	1.5	1.8	1.4	0.8	1.1	1.3	<0.5	0.9	1.7	0.5	0.5
Zr	139	152	152	144.2	109.5	136.3	117	87.5	150.3	132.5	116.5
Y	23	23	22	21.7	16.4	22.7	17	16.5	22.9	17.5	18.1
La	17	20	19	16.9	17.1	15.4	17	12.8	19.7	20.7	15.3
Ce	33	38	36	33.8	32.6	31.8	30	24.5	39.8	41.7	28.4
Pr	3.65	4.32	4	4.12	3.28	3.72	3.1	2.8	4.15	4.5	3.11
Nd	15.5	17.1	15.3	16.7	13.4	14.9	12.6	10.9	16.8	16.2	11.8
Sm	3.54	3.84	3.31	3.44	2.27	3.62	2.61	2.8	3.65	2.7	2.62
Eu	1	1.15	0.92	0.86	0.85	1.06	0.81	0.85	1.37	0.82	0.95
Gd	3.96	4.11	3.62	3.14	2.75	3.68	2.82	2.95	4.06	2.77	2.68
Tb	0.61	0.61	0.57	0.45	0.52	0.63	0.43	0.44	0.54	0.43	0.37
Dy	3.86	3.72	3.8	4.06	3.07	3.71	2.9	2.97	3.58	2.83	3.22
Ho	0.76	0.77	0.76	0.73	0.65	0.78	0.54	0.59	0.69	0.56	0.61
Er	2.32	2.32	2.24	2.62	1.93	2.38	1.7	1.78	2.57	1.63	1.72
Tm	0.33	0.33	0.35	0.36	0.28	0.31	0.24	0.27	0.35	0.27	0.34
Yb	2.25	2.2	2.14	2.37	1.66	2.27	1.7	1.65	2.05	1.79	1.88
Lu	0.36	0.37	0.34	0.32	0.24	0.32	0.27	0.28	0.26	0.28	0.37
$\text{K}_2\text{O}/\text{Na}_2\text{O}$	1.85	1.45	1.52	1.71	1.25	1.57	1.47	6.77	1.37	14.65	2.83
Eu/Eu^*	0.82	0.89	0.81	0.8	1.04	0.89	0.91	0.9	1.09	0.92	1.1
$(\text{La}_N/\text{Yb}_N)$	5.03	6.28	6.05	4.81	6.95	4.57	6.58	5.23	6.48	7.8	5.49
$(\text{Ce}_N/\text{Yb}_N)$	3.76	4.53	4.38	3.69	5.08	3.62	4.58	3.84	5.02	6.03	3.91

1: Bt Qtz Monzonite, 2: Hbl Qtz Diorite porphyry, 3: Hbl Microdiorite, 4: Hbl Diorite, 5: Hbl Diorite porphyry

جدول ۱ - ادامه.

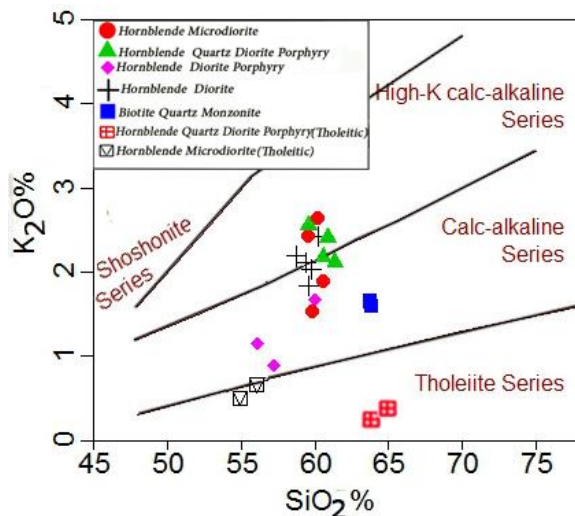
Sample No.	S-49	S-59	S-63	S-67	S-84	S-102	S-104	S-105	S-113	S-119	S-127
X	$58^{\circ}20'21.1"E$ $58^{\circ}22'25"E$ $58^{\circ}22'21"E$ $58^{\circ}22'2"E$ $58^{\circ}20'3"E$ $58^{\circ}21'18"E$ $58^{\circ}21'32"E$ $58^{\circ}21'48"E$ $58^{\circ}20'55"E$ $58^{\circ}22'10"E$ $58^{\circ}22'16"E$										
Y	$32^{\circ}13'33"N$ $32^{\circ}13'16"N$ $32^{\circ}13'33"N$ $32^{\circ}13'3"N$ $32^{\circ}13'4"N$ $32^{\circ}12'42"N$ $32^{\circ}12'24"N$ $32^{\circ}12'34"N$ $32^{\circ}13'48"N$ $32^{\circ}13'06"N$ $32^{\circ}13'31"N$										
Rock type	2	4	1	1	3	4	5	3	3	3	5
SiO ₂	57.21	63.85	63.74	63.88	59.75	61.37	59.61	60.87	56.18	59.58	60.26
TiO ₂	0.496	0.369	0.372	0.403	0.484	0.456	0.476	0.433	0.495	0.512	0.416
Al ₂ O ₃	18.43	17.42	15.02	14.26	18.07	17.99	18.52	17.86	16.08	18.14	18.21
FeO _t	6.42	3.54	5.23	5.83	5.61	5.31	5.45	5.21	5.34	5.47	5.12
MnO	0.06	0.132	0.28	0.216	0.128	0.1	0.17	0.10	0.126	0.128	0.18
MgO	3.89	2.99	0.93	1.17	3.14	2.68	3.24	3.15	6.98	3.27	3.04
CaO	5.24	4.05	3.78	3.72	4.58	5.24	3.83	4.78	6.21	5.12	3.62
Na ₂ O	3.67	4.71	3.85	3.75	3.34	2.88	3.15	3.11	3.89	2.99	2.79
K ₂ O	0.89	0.34	1.65	1.59	2.03	2.11	2.42	2.41	0.67	2.56	2.63
P ₂ O ₅	0.067	0.05	0.055	0.058	0.059	0.059	0.064	0.051	0.053	0.062	0.055
L.O.I.	2.25	2.47	3.12	2.96	2.74	1.45	2.82	1.85	1.27	2.08	1.96
Sum	99.63	100.6	99.61	97.8	99.9	99.65	99.75	99.83	98.2	99.9	98.5
Ba	359	190	2514	1745	684	558	600	582	284	567	546
Co	13	7.6	5	9.3	14.2	15	17	15	16.3	16.5	15.1
Cs	2.3	6.8	80	76.7	12.3	2.2	6.1	5.6	3.4	4.2	8.3
Ga	15	15.2	12	12.4	14.8	15	16	15	15.2	15.3	15.6
Hf	3.2	3.7	3.8	3.5	3.6	3.1	3	3.2	2.7	3.6	3.4
Nb	5	6.4	6.6	6.9	4.7	5.7	5.8	5.7	4.3	5.2	6.1
Rb	46	23.1	34	31.4	68.3	66	90	82	20.4	77.6	83.4
Sr	492	956.4	916	906.7	683.8	531	555	559	675.9	538.6	542.5
Ta	0.4	0.4	0.3	0.3	0.3	0.4	0.4	0.5	0.4	0.3	0.5
Th	5.9	8.3	4.2	3.9	6.9	6.7	6.1	6.4	5.2	5.1	6.7
U	2.3	2.7	1.6	1.7	2.3	2.4	2.2	2.2	2	1.9	1.8
V	165	112	50	47	154	136	147	154	194	166	134
W	0.8	0.5	0.5	0.5	0.6	1	1.1	0.8	1.2	1.3	1.6
Zr	120	130.5	179	173.6	114.5	117	125	127	92.1	122.3	129.2
Y	17	18.4	14	13.2	16.7	17	17	17	17.6	15.4	16.1
La	14	16.8	24	22.1	16.9	16	17	18	14.7	30.7	30.4
Ce	24	37.8	42	41.7	33.2	30	30	32	26.8	16.2	17.3
Pr	2.81	4.23	4.38	4.12	3.24	3.19	3.22	3.44	2.67	3.18	3.28
Nd	11.5	16.6	15.7	16.08	12.19	12.1	13	13.1	11.3	12.04	12.5
Sm	2.79	2.85	2.56	2.37	2.78	2.63	2.8	2.78	2.88	2.66	2.71
Eu	0.86	0.78	1.32	1.34	0.75	0.83	0.81	0.85	0.79	0.93	0.86
Gd	2.93	3.11	2.55	2.68	2.69	2.88	2.93	2.91	2.83	2.97	2.67
Tb	0.46	0.39	0.36	0.34	0.41	0.45	0.45	0.47	0.41	0.44	0.43
Dy	2.98	2.57	2.26	2.45	3.13	2.89	2.96	2.92	3.12	3.01	2.86
Ho	0.59	0.58	0.47	0.54	0.49	0.61	0.56	0.6	0.62	0.57	0.58
Er	1.8	1.53	1.42	1.45	1.78	1.85	1.64	1.72	1.68	1.73	1.57
Tm	0.28	0.24	0.22	0.26	0.21	0.27	0.26	0.25	0.26	0.29	0.29
Yb	1.86	1.8	1.49	1.37	1.61	1.75	1.71	1.75	1.56	1.68	1.67
Lu	0.28	0.24	0.23	0.21	0.31	0.27	0.28	0.28	0.3	0.23	0.26
Ratio											
K ₂ O/Na ₂ O	4.12	13.85	2.97	2.36	1.65	1.36	1.3	1.29	5.81	1.16	1.06
Eu/Eu*	0.92	0.8	1.51	1.63	0.84	0.92	0.86	0.91	0.85	1.1	0.98
(La _n /Yb _n)	5	5.61	9.63	10.88	7.08	6.32	6.66	6.78	6.35	6.18	6.5
(Ce _n /Yb _n)	3.38	4.84	6.69	7.87	5.33	4.43	4.52	4.76	4.44	4.73	4.71

1: Bt Qtz Monzonite, 2: Hbl Qtz Diorite porphyry, 3: Hbl Microdiorite, 4: Hbl Diorite, 5: Hbl Diorite porphyry

نمودار Shand (۱۹۴۳) نمونه‌ها در محدوده متالومینوس تا کمی پرآلومینوس قرار می‌گیرند (شکل B-۴). مقدار K₂O از ۰/۳۴ تا ۰/۶۶ درصد متغیر است. میزان پایین O/K₂O (مقادیر کمتر از ۱ درصد) در دو توده نفوذی کوچک با ترکیب هورنبلند کوارتزدیوریت پورفیری و هورنبلند میکرودیوریت دیده می‌شود.

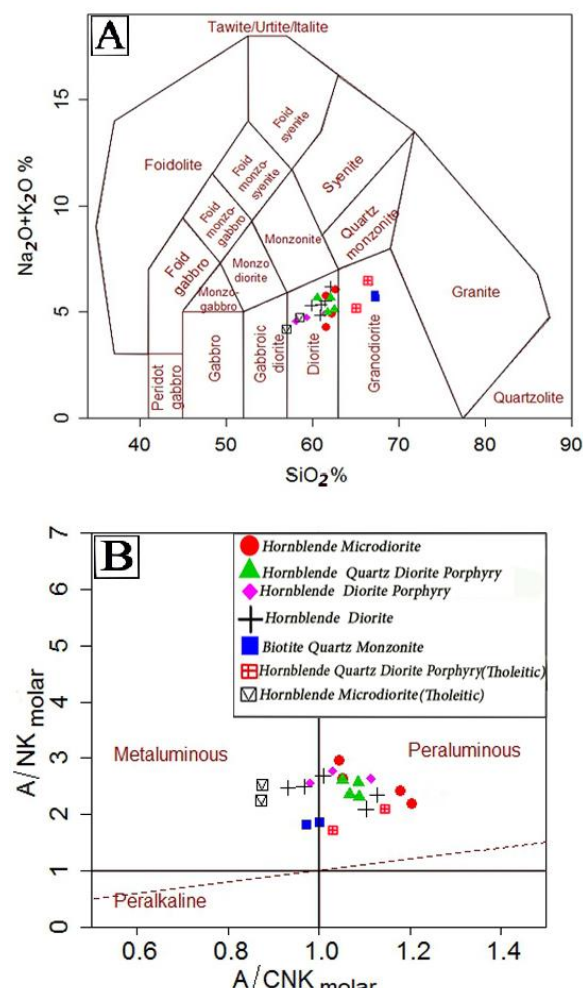
بر اساس نمودار نامگذاری سنگ‌های آذرین درونی (Middlemost, 1985) SiO₂-Na₂O+K₂O توده‌های نفوذی منطقه در محدوده گرانوڈیوریت و دیوریت واقع می‌شوند (شکل A-۴). مقدار Al₂O₃/CaO+Na₂O+K₂O در حدود ۱/۶۵ مول و مقدار Al₂O₃/Na₂O+K₂O ۳/۴۶ مول بوده که بر اساس

توده‌های نفوذی دارای دو ماهیت کالک‌آلکالن و تولیتی هستند (شکل ۵).



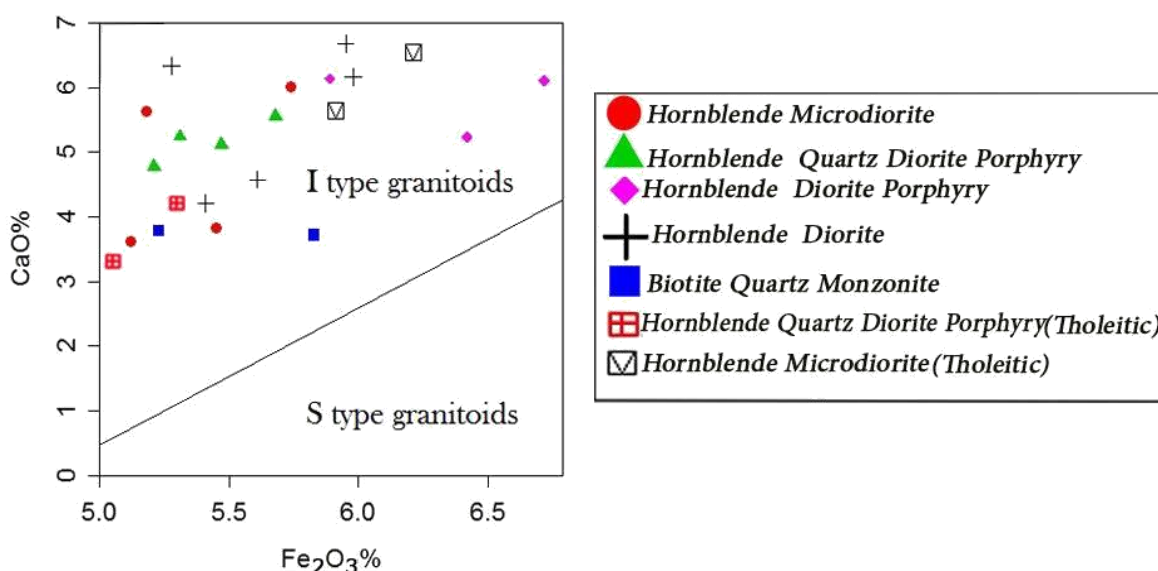
شکل ۵- ترکیب توده‌های نفوذی محدوده جنوب‌باختری سرخ‌کوه (بلوک لوت، خاور ایران) در نمودار K_2O در برابر SiO_2 (and McLennan, 1985) در دو سری کالک‌آلکالن پتابسیم متوسط و پتابسیم بالا و تولیتی قرار می‌گیرند.

نمودار Na_2O+K_2O در برابر Al (1000Ga/Al) نشان می‌دهند که توده‌های نفوذی منطقه جنوب‌باختری سرخ‌کوه مربوط به سری‌های I و S بوده (Whalen, 1987) (شکل ۶-A) (Whalen, 1987)، که در این نمودار نمونه‌های مربوط به سری تولیتی کمی از توده‌های نفوذی کالک‌آلکالن متمايز هستند. برای تفکیک توده‌های نفوذی نوع I و S در محدوده جنوب‌باختری سرخ‌کوه از نمودار Fe_2O_3 در برابر Chappell and White, 2001 استفاده شد (Chappell and White, 2001)، که بر اساس این نمودار توده‌های نفوذی سری کالک‌آلکالن و همچنین، توده‌های نفوذی سری تولیتی در محدوده گرانیت‌ویدهای نوع I واقع می‌شوند (شکل‌های ۶-B و ۶-C).



شکل ۴- موقعیت ترکیبی توده‌های نفوذی منطقه جنوب‌باختری سرخ‌کوه (بلوک لوت، خاور ایران) در: (A) نمودار نام‌گذاری Middlemost (1985) (B) نمودار Al_2O_3/Na_2O+K_2O در برابر Al_2O_3/Na_2O+K_2O (Shand, 1974)

با توجه به نمودار K_2O در برابر SiO_2 (and McLennan, 1985) توده‌های نفوذی جنوب‌باختری سرخ‌کوه اغلب در محدوده کالک‌آلکالن پتابسیم متوسط تا بالا قرار می‌گیرند. برخی نمونه‌های هورنبلندر کوارتز‌دیوریت پورفیری و هورنبلندر میکرو‌دیوریت پورفیری دارای پتابسیم پایین در محدوده تولیتی واقع می‌شوند. بنابراین،



شکل ۶- توده‌های نفوذی منطقه جنوب‌باختری سرخ‌کوه (بلوک لوت، خاور ایران) در: (A) نمودار $\text{Na}_2\text{O}+\text{K}_2\text{O}$ در برابر $\text{Al}/1000\text{Ga}/\text{Al}$ (Whalen, 1987) (B) نمودار CaO در برابر Fe_2O_3 برای توده‌های نفوذی کالک‌آلکالن و تولیتی (C) که متعلق به گرانیت‌ویدهای سری I هستند (Chappell and White, 2001).

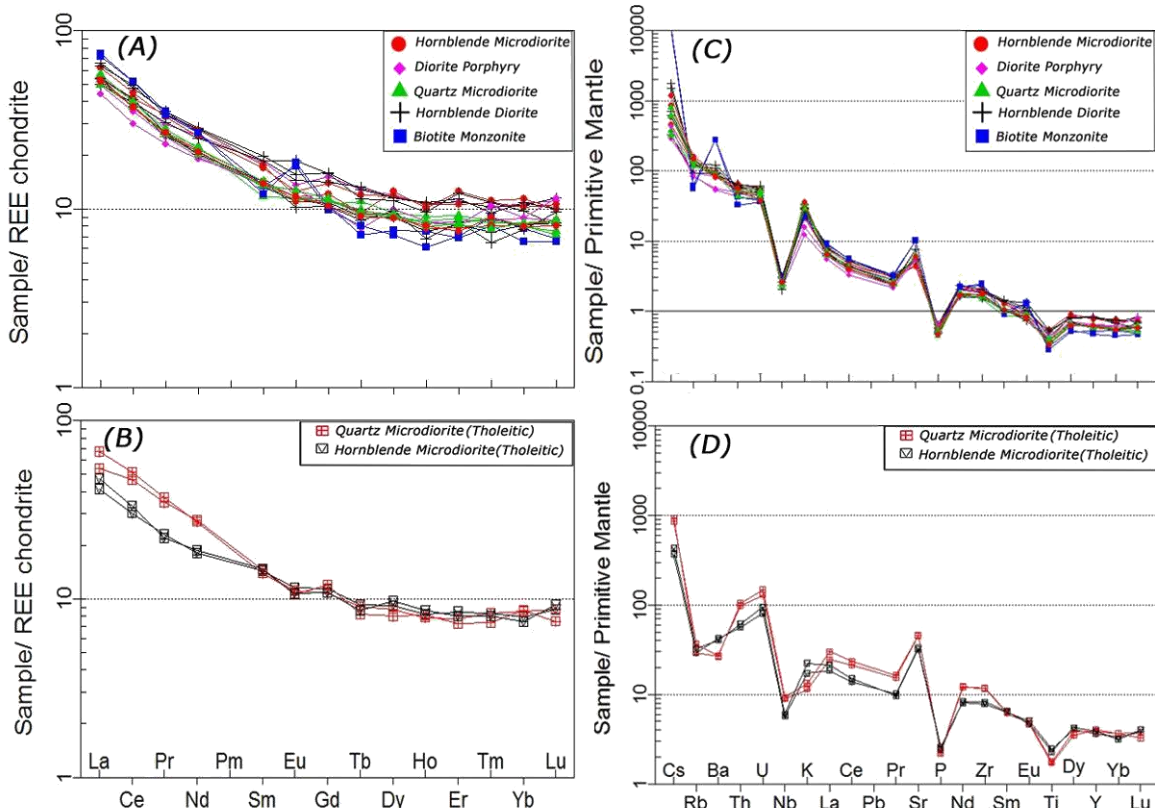
حضور گارنت و در نتیجه عمق ذوب را برآورد نمود. این نسبت در توده‌های نفوذی منطقه بسیار پایین (حدود ۵-۹) بوده (جدول ۱) که کم بودن یا نبود گارنت در ناحیه خاستگاه را نشان می‌دهد. نسبت $(\text{Ce}_N/\text{Yb}_N)$ نیز حاکی از عمق و نرخ ذوب ماقمای مادر دارد (Cotton *et al.*, 1995). همان‌گونه که در جدول ۱ مشخص است این نسبت در توده‌های نفوذی منطقه پایین بوده ($3/7$) تا ($6/7$) و مقدار بالای آن در توده بیوتیت‌کوارتز‌مونزونیت و به مقدار کمتر در توده‌های دیوریتی کالک‌آلکالن و تولیتی است. بنابراین، خاستگاه ماقمای مولد توده‌های نفوذی منطقه از بخش‌های بالایی گوشه با نرخ ذوب بالا بوده و در توده بیوتیت‌کوارتز‌مونزونیت عمق زیادتر و نسبت ذوب از توده‌های نفوذی دیوریت کالک‌آلکالن و تولیتی کمتر است.

در نمودارهای عناصر خاکی نادر هنجار شده نسبت به ترکیب کندریت، در عنصر Eu، دو الگوی متفاوت در توده بیوتیت‌کوارتز‌مونزونیت و دیگر توده‌های نفوذی دیده می‌شود. توده‌های دیوریتی کالک‌آلکالن و همچنین، تولیتی دارای ناهنجاری کمی منفی Eu

عناصر فرعی و خاکی نادر: در ژئوشیمی سنگ‌های آذرین برای تشخیص ویژگی‌هایی مانند عمق نسبی تشكیل مagma، تعیین نوع و درصد کانی‌های سنگ خاستگاه، شرایط ذوب، درصد ذوب، نوع ذوب و غیره، از عناصر خاکی نادر و نمودارهای عنکبوتی استفاده می‌شود. عناصر خاکی نادر (REE) به مقدار کمتر از عناصر دیگر در معرض هوازدگی و فرایندهای هیدروترمالی قرار می‌گیرند. بنابراین، الگوی فراوانی آنها می‌تواند نشانه‌هایی از خاستگاه سنگ‌ها را اثبات کند (Rollinson, 1993). همان‌گونه که مشخص است HREE غنی‌شدگی در عناصر LREE نسبت به عناصر در همه توده‌های نفوذی منطقه دیده می‌شود (شکل‌های A-۷ و B-۷)، که ویژه مagmaهای تشكیل شده در پهنه‌های فرورانش است (Wilson, 1989).

درجه پایین ذوب‌بخشی گوشه اولیه را می‌توان توسط غنی‌شدگی عناصر خاکی کمیاب سبک (LREE) نسبت به تهی‌شدگی عناصر نادر سنگین (HREE) تشخیص داد. همچنین، با نسبت $(\text{La}_N/\text{Yb}_N)$ می‌توان

نفوذی منطقه تنها در سنگ‌های دیوریتی ممکن است مقدار کمی کانی پلازیوکلаз در خاستگاه حضور داشته است. ناهنجاری مثبت Eu احتمالاً مرتبط با فوگاسیته بالای اکسیژن در مagma باشد که در این شرایط ضریب REE توزیع Eu در کانی فلدسپار، مانند دیگر عناصر خواهد بود (Rollinson, 1993). تبلور زود هنگام کانی مگنتیت می‌تواند علت فوگاسیته بالای اکسیژن در magma باشد.



شکل ۷- الگوی عناصر خاکی نادر موجود در توده‌های نفوذی جنوب‌باختری سرخ‌کوه (بلوک لوت، خاور ایران)، به هنجار شده: (A) نسبت به ترکیب کندریت برای توده‌های نفوذی سری تولیتی؛ (B) نسبت به ترکیب کندریت برای توده‌های نفوذی سری تولیتی؛ (C) نسبت به ترکیب گوشه اولیه برای توده‌های نفوذی سری تولیتی؛ (D) نسبت به ترکیب گوشه اولیه برای توده‌های نفوذی سری تولیتی (McDonough and Sun, 1989) و ترکیب کندریت از Boynton (1984) است.

به علت حضور کانی‌های تیتانیم‌دار (Pearce and Parkinson, 1993) و یا Ti-Nb (Reagan and Gill, 1989) کاهیدگی در فسفر نیز به علت حضور کانی آپاتیت در خاستگاه است. مقدار زیاد Ba به خصوص در بیوتیت کوارتز‌مونزونیت نشان‌دهنده

نسبت به عناصر مجاور خود هستند ($\text{Eu/Eu}^*=0.85$) و در توده بیوتیت مونزونیت این ناهنجاری مثبت است ($\text{Eu/Eu}^*=1.5$). هرگاه مقدار Eu/Eu^* بیشتر از یک باشد ناهنجاری مثبت و کمتر از یک ناهنجاری منفی است (Taylor and McLennan, 1985). مقدار Eu/Eu^* (Taylor and McLennan, 1985) کمتر از ۰/۸ بیانگر حضور پلازیوکلاز در سنگ خاستگاه است. در همه توده‌های نفوذی جنوب‌باختری سرخ‌کوه این نسبت بیش از ۰/۸ است. بنابراین، در توده‌های

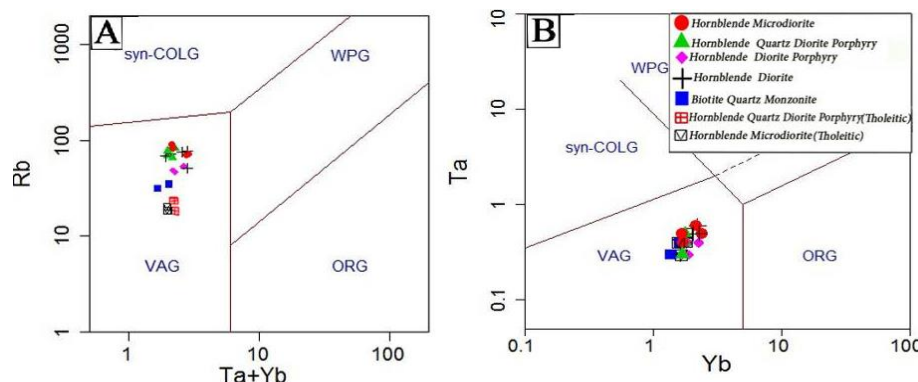
در نمودارهای عناصر فرعی هنجار شده نسبت به گوشه اولیه در همه توده‌های نفوذی منطقه غنی‌شدگی در عناصر LILE (مانند Ba, K, Cs, Sr) و تهی‌شدگی شدید در عناصر HFSE (مانند Ti, Nb, P) دیده می‌شود (شکل‌های ۷- C و ۷- D). کاهیدگی و

نسبت Zr/Nb نیز از شاخص‌های دیگر در تعیین آغشته‌گی ماقما با پوسته قاره‌ای است که این نسبت در همه توده‌های نفوذی منطقه از ۲۱ تا ۲۴ متغیر است و مقدار بالای این نسبت نیز نشان‌دهنده کمترین آلودگی پوسته‌ای در ماقماست. مقدار بالای Sr و مقدار پایین عناصر Ti و Nb نیز در ارتباط با تشکیل هورنبلند در خاستگاه و نبود پلازیوکلاز در خاستگاه است (Martin, 1999). مقدار کم Nb به فرایندهای تهی‌شدنی در گوشته هم نسبت داده شده است (Gust *et al.*, 1977; Woodhead *et al.*, 1993).

بحث

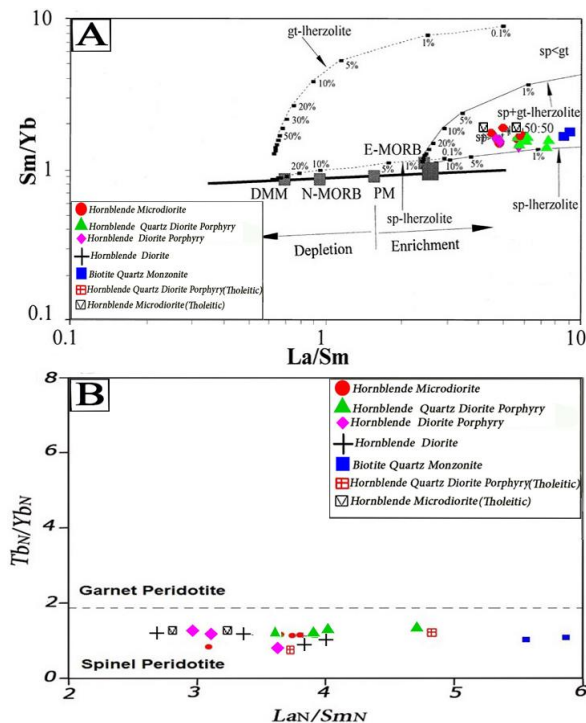
جايگاه زمين ساختی: سنگ‌های آذرین بیرونی کالک‌آلکالن در محیط‌های زمین ساختی مرز صفحه‌های همگرا (جزایر قوسی و حاشیه‌های قاره‌ای فعال) تشکیل می‌شوند (Harangi *et al.*, 2007). همان‌گونه که در بخش ژئوشیمی گفته شد ویژگی‌های عناصر فرعی و خاکی نادر در منطقه جنوب‌باختری سرخ‌کوه همانند ماقماهای پهنه فرورانش است. همچنین، بر اساس نمودارهای زمین ساختی بر اساس عناصر Rb، Ta و Yb موقعیت توده‌های نفوذی محدوده جنوب‌باختری سرخ‌کوه در محدوده ترکیبی کمرنند آتشفسانی پهنه فرورانش (VGA) قرار می‌گیرند (شکل ۸).

ذوب پتاسیم‌فلدسبار در خاستگاه است. غنی‌شدنی عناصر LILE و کاهیدگی عناصر HFSE از ویژگی‌های شاخص ماقماهی تولید شده در پهنه فرورانش است (Wilson, 1989). غنی‌شدنی Sr به همراه نبود ناهنجاری منفی Eu در توده‌های بیوتیت‌کوارتز‌مونزونیت نشانه نبود پلازیوکلاز در خاستگاه این ماقماست (Martin, 1999; Hou *et al.*, 2004). غنی‌شدنی Ba و Cs در توده بیوتیت کوارتز‌مونزونیت با دیگر توده‌های نفوذی الگوی متفاوتی دارد، به طوری که غنی‌شدنی این دو عنصر در بیوتیت کوارتز‌مونزونیت بسیار بیشتر از دیگر توده‌های نفوذی است. عناصر Ti و همچنین، عناصر خاکی نادر سنگین (مانند Dy, Y, Lu) تهی‌شدنی بیشتری در بیوتیت کوارتز‌مونزونیت نسبت به دیوریت نشان می‌دهند. این پدیده احتمالاً نتیجه آلایش کمی بیشتر پوسته قاره‌ای در بیوتیت مونزونیت نسبت به دیوریت بوده اما در هر دوی این توده‌ها مقدار آلایش پوسته قاره‌ای بسیار کم است. شرایط احتمالی ماقما در منطقه نیز شرایط اکسیدان بوده است. در ژئوشیمی عناصر فرعی، عناصری چون Rb و Nb از عناصر فراوان موجود در پوسته قاره‌ای هستند (Bonin *et al.*, 1978)، که کاهیدگی در این عناصر، به ویژه Nb، از ویژگی‌های ماقماهای مشتق شده از پوسته اقیانوسی در پهنه فرورانش است (Wilson, 1989). بنابراین، ماقماهای مادر توده‌های نفوذی در منطقه آلودگی کمی با پوسته قاره‌ای دارد.



شکل ۸- موقعیت ترکیبی توده‌های نفوذی کالک‌آلکالن و تولیتی در محدوده جنوب‌باختری سرخ‌کوه (بلوک لوت، خاور ایران) که متعلق به گرانیت‌های کمان آتشفسانی (VGA) هستند (Pearce *et al.*, 1984).

تهی شده (DDM) بر اساس O'Nions و McKenzie (1991، 1995) و همچنین، از معادلات ذوب Shaw (1970) استفاده شده است.



شکل ۹- موقعيت ترکيبي نمونه‌های جنوب‌باختري سرخ‌کوه (بلوک لوت، خاور ايران) در (A) نمودار Sm/Yb در برابر La/Sm (Shaw, 1970) که منحنی‌های ذوب در آن بر اساس گوشته اسپينل-لرزوليتی و گوشته گارنت لرزوليتی محاسبه شده‌اند و نمونه‌های مورد مطالعه نزديک به نمودار اسپينل لرزوليت قرار دارند؛ (B) نمودار (La_N/Sm_N)/(Tb_N/Yb_N) در برابر La_N/Sm_N که نمونه‌ها در محدوده اسپينل-لرزوليتی قرار دارند.

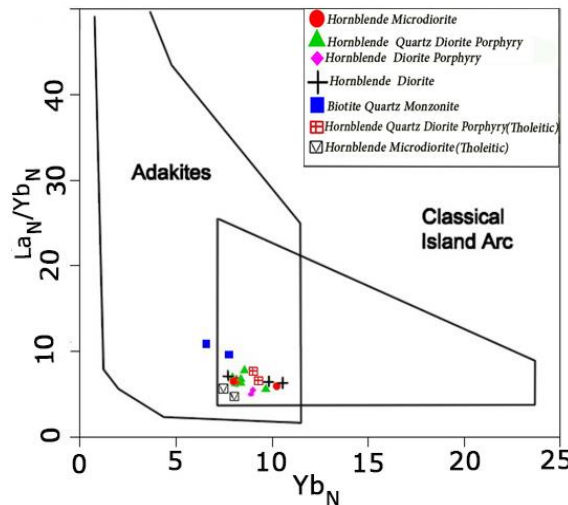
همان‌گونه که مشخص است ماقماي مولد توده‌های نفوذی از ذوب‌بخشی ۱ تا ۵ درصد گوشته گارنت-اسپينل لرزوليت (با مقدار کم گارنت) تشکيل شده است. وجود اندک گارنت به عنوان کانی باقی‌مانده در خاستگاه با نسبت پايانين (Ce_N/Yb_N) و (La_N/Yb_N) همخوانی دارد. بر اساس موقعيت قرارگيري توده‌های نفوذی منطقه در نمودار (La_N/Sm_N)/(Tb_N/Yb_N)، ترکيب گوشته غالباً اسپينل لرزوليتی نيز مشخص می‌شود

همچنین، از نسبت عناصر كمياب Zr/Y می‌توان برای تشخيص محیط زمین‌ساختی استفاده نمود (Pearce and Norry, 1979) بيشتر از ۳ مربوط به کمان‌های آتشفسانی قاره‌اي و مقادير كمتر از ۳ مربوط به کمان‌های آتشفسانی اقیانوسی هستند.

در توده‌های نفوذی جنوب‌باختري سرخ‌کوه اين نسبت بين ۵ تا ۷ بوده که بيانگر شباهت محیط تشکيل نمونه‌ها به کمان‌های آتشفسانی قاره‌اي است.

ماگماي مولد توده‌های نفوذی: با توجه به فراوانی و نسبت برخی عناصر REE می‌توان خاستگاه کانی‌شناختی و درجه ذوب‌بخشی ماگماي خاستگاه را مشخص نمود. برخی عناصر REE تحت تأثير تغييرات در کانی‌شناختی خاستگاه قرار نمي‌گيرند، بنابراین، می‌توانند اطلاعاتی از ترکيب شيميايی كلی خاستگاه ارائه دهند. برای اين کار از نمودار Sm/Yb در برابر La/Sm استفاده شد. اين نمودار در واقع به عنوان نمودار LREE/MREE در برابر HREE/MREE بيشتر است. بيانگر ذوب گارنت-لرزوليت يا اسپينل-لرزوليت در خاستگاه مذاب است. زمانی که اسپينل-لرزوليت در معرض ذوب‌بخشی قرار می‌گيرد، گوشته و مذاب حاصل از گوشته مقادير يكسان Sm/Yb داشته، در حالی که مقدار La/Sm با افزایش درجه ذوب‌بخشی کاهش می‌يابد (Aldanmaz et al., 2000). از طرفی عنصر Yb دارای ضريب توزيع بالا در کانی گارنت نسبت به اسپينل است، بنابراین، ذوب‌بخشی گوشته گارنت‌دار، روند مذابی توليد می‌کند که به طور مشخص، از روند مذاب گوشته اسپينل‌دار متمايز می‌شود. با توجه به نمودار شکل ۹-A، يك خاستگاه ذوب‌بخشی گارنت-اسپينل لرزوليت برای اين توده‌های نفوذی منطقه جنوب‌باختري سرخ‌کوه مشخص می‌شود که در آن مقدار اسپينل بيشتر از گارنت است. در اين نمودار ترکيب گوشته اوليه (PM) McDonough و Sun (1989) گوشته

با توجه به مطالعات صحرایی و ژئوشیمیایی انجام شده در منطقه در نهایت مدل پترولوژیک منطقه جنوب باختری سرخ کوه ترسیم شد (شکل ۱۲).

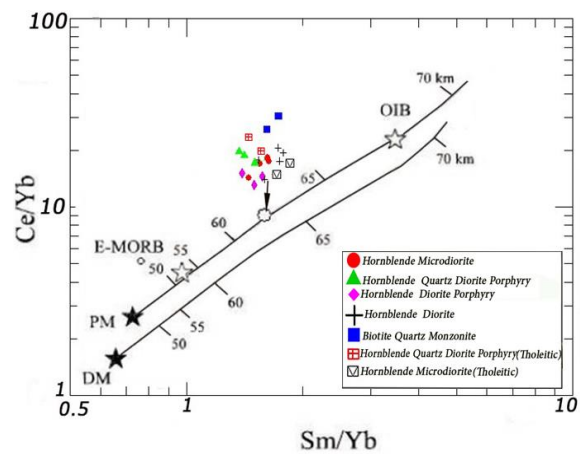


شکل ۱۱- موقعیت ترکیبی نمونه های جنوب باختری سرخ کوه (بلوک لوت، خاور ایران) در نمودار $\text{La}_\text{N}/\text{Yb}_\text{N}$ در برابر Yb_N (Martin, 1995). نمونه ها در محیط مشترک کالک آلکالن و آدکیت واقع می شوند.

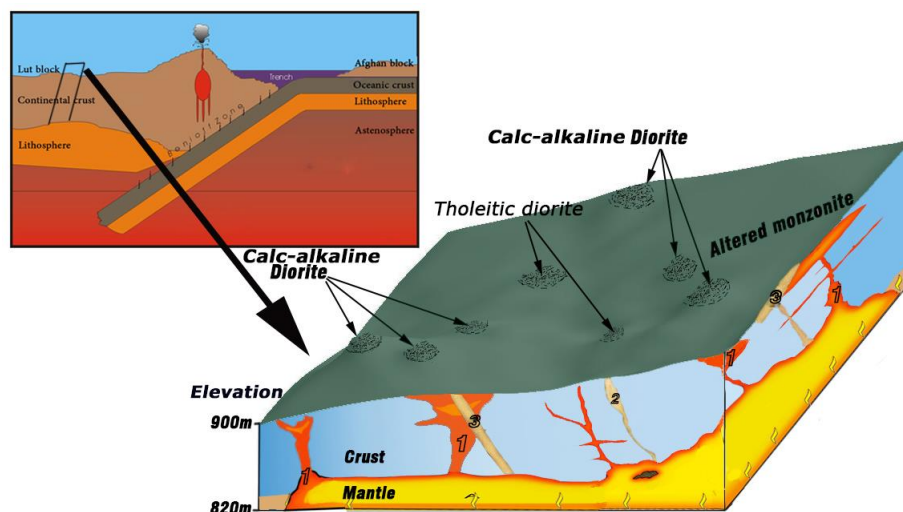
نتیجه گیری

منطقه جنوب باختری سرخ کوه در بخش باختری بلوک لوت متشکل از سنگ های آذرین بیرونی است که توده های نفوذی عمیق و نیمه عمیق متعدد با ترکیب غالب دیوریت و مونزونیت در آنها نفوذ کرده و موجب دگر سانی و کانی سازی شده است. بررسی های سنگ شناسی، ژئوشیمیایی و پتروژنیز بر روی این توده های نفوذی نشان می دهد که توده های نفوذی مختلف که از لحاظ خاستگاه، نرخ ذوب و عمق متفاوت بوده و بر اساس مطالعات صحرایی و پتروژنیز، احتمالاً در سه مرحله زمانی تشکیل شده اند. بر اساس مقادیر اکسیدهای اصلی و مقدار K_2O دو ماهیت کالک آلکالن و تولیتی برای توده های نفوذی در منطقه تعیین شد.

(شکل ۹- B). بنابراین، با در نظر گرفتن اسپینل لرزولیت به عنوان خاستگاه، تشکیل و جدایش ماغما از گوشه، در عمق حدود ۶۰ کیلومتری در منطقه جنوب باختری سرخ کوه بوده است. عمق خاستگاه برای ماغما موزونیتی بیشتر از توده دیوریت تولیتی، و برای دیوریت تولیتی کمی بیشتر از دیوریت کالک آلکالن بوده است (شکل ۱۰). این عمق خاستگاه با نسبت عناصر خاکی نادر نیز همخوانی دارد. در مطالعه عناصر خاکی نادر از نمودار Yb_N در برابر $\text{La}_\text{N}/\text{Yb}_\text{N}$ برای جدا کردن توده های کالک آلکالن از آدکیتی استفاده می شود. آدکیت ها دارای ترکیب هورنبلند آندزیت تا داسیت و ریولیت با SiO_2 بیشتر از ۵۶ درصد وزنی، Al_2O_3 بیشتر از درصد وزنی و MgO کمتر از ۳ درصد وزنی بوده و نسبت $(\text{La}_\text{N}/\text{Yb}_\text{N})$ در آنها کمتر از ۱۰ است (Defant and Drummond, 1990). همان گونه که در نمودار شکل ۱۱ مشخص شده است. توده های نفوذی منطقه جنوب باختری سرخ کوه در مرز مشترک جزایر قوسی و آدکیت ها واقع شده اند.



شکل ۱۰- موقعیت ترکیبی نمونه های جنوب باختری سرخ کوه (بلوک لوت، خاور ایران) در نمودار Ce/Yb در برابر Sm/Yb (Fleche et al., 1997) که نشان می دهد خاستگاه ماغما مادر توده های نفوذی منطقه از اعماق حدود ۶۰ تا ۶۵ کیلومتری بوده است.



شکل ۱۲- مدل شماتیک تشکیل توده‌های نفوذی در منطقه جنوب‌باختری سرخ‌کوه (بلوک لوت، خاور ایران).

به نظر می‌رسد که پس از تشکیل سنگ‌های آذرین بیرونی در منطقه، مagma مونزونیتی نفوذ کرده و باعث دگرسانی وسیع در منطقه شده است. در مراحل نهایی توده‌های نفوذی دیوریتی تولیتی و احتمالاً کمی پس از آن magma کالک‌آلکالن از اعماق کمتر و با آلودگی اندک پوسته به درون بیوتیت‌مونزونیت دگرسان نفوذ کرده‌اند. اگرچه مطالعات ایزوتوبی و تعیین سن این توده‌های نفوذی به این موضوع قطعیت بیشتری می‌بخشد.

سپاس‌گزاری

این پژوهش با حمایت مالی دانشگاه فردوسی مشهد در ارتباط با طرح پژوهشی شماره ۲۷۱۲۵/۳ انجام شده است. نگارندگان از شرکت کانساران بینالود برای انجام آنالیز XRF تشکر می‌کنند.

همچنین، نتایج عناصر خاکی نادر نشان می‌دهد که خاستگاه magma مولد توده‌های دیوریتی کالک‌آلکالن، تولیتی و مونزونیتی بک گوشته گارنت-اسپینل لرزولیتی بوده که مقدار گارنت آن کم بوده است. عمق خاستگاه این magma حدود ۶۰ کیلومتر بوده و عمق magma مولد بیوتیت‌کوارتز‌مونزونیت بیشتر از توده‌های دیوریت تولیتی و کالک‌آلکالن است. این magma به دلیل Nb/Zr (۴-۷ ppm) و نسبت بالای Nb/Zr (۲۱-۲۴) اندکی دارای آلودگی پوسته‌ای است. نسبت عناصر فرعی و همچنین، رفتار عناصر کمیاب نشان‌دهنده تشکیل توده‌های نفوذی در پهنه فروزانش و مرتبط با کمان‌های آتشفسانی است. با توجه به روابط صحرایی بین توده‌های نفوذی، سنگ‌نگاری و مطالعات ژئوشیمیابی چنین

منابع

- Abdi, M. and Karimpour, M. H. (2012) Geology, alteration, mineralization, petrogenesis, dating, geochemistry, and airborne geophysics of Kuh-Shah, SW Birjand. Journal of Economic Geology 4: 77-107 (in Persian).
- Aghanabati, S. A. (2004) Geology of Iran. Geological Survey of Iran, Tehran (in Persian).
- Aldanmaz, E., Pearce J.A., Thirlwall, M. F. and Mitchell, J. G. (2000) Petrogenetic evolution of late Cenozoic, post-collision volcanism in western Anatolia, Turkey. Journal of Volcanology and

Geothermal Research 102: 67-95.

Arjmandzadeh, R., Karimpour, M. H., Mazaheri, S. A., Santos, J. F., Medina, J. M. and Homam, S. M. (2011a) Sr-Nd isotope geochemistry and petrogenesis of the Chah-Shaljami granitoids (Lut block, eastern Iran). *Journal of Asian Earth Sciences* 41: 283-296.

Arjmandzadeh, R., Karimpour, M. H., Mazaheri, S. A., Santos, J. F., Medina, J. M. and Homam, S. M. (2011b) Two-sided asymmetric subduction; implications for tectonomagmatic and metallogenic evolution of the Lut Block, eastern Iran, *Journal of Economic Geology*, Ferdowsi University of Mashhad 1(3): 1-14.

Blurian, G. (2004) Explanatory text of Jonub-e-Sehchangi. Geological Quadrangle Map 1:100000, No. 7654, Geological Survey of Iran, Tehran (in Persian).

Bonin, B., Grelou-Orsini, C. and Viallette, Y. (1978) Age, origin and evolution of the anorogenic complex of Evisa (Corsica): A K-Li-Rb-Sr study. *Contributions to Mineralogy and Petrology* 65: 425-435.

Boynton, W. V. (1984) Geochemistry of the rare earth elements: meteorite studies. In: *Rare Earth Element Geochemistry* (Ed. Henderson, P.) 63-114, Elsevier, Amsterdam.

Camp, V. and Griffis, R. (1982) Character, genesis and tectonic setting of igneous rocks in the Sistan suture zone, eastern Iran. *Lithos* 15: 221-239.

Chappell, B. W. and White, A. J. R. (2001) Two contrasting granite types – 25 years later. *Australian Journal of Earth Sciences* 48: 489-499.

Cotton, J., Le Dez A., Bau, M., Caroff, M., Maury, R. C., Dulski, P., Fourcade, S., Bohn, M. and Brousse, R. (1995) Origin of anomalous rare earth element and yttrium enrichments in subaerially exposed basalts, evidence from French Polynesia. *Chemical Geology* 119: 115-138.

Defant M. J. and Drummond M. S. (1990) Derivation of some modern arc magmas by melting of young subducted lithosphere. *Nature* 347: 662–665.

Dercourt, J., Zonenshain, L. P., Ricou, L. E., Kazmin, V. G., Le Pichon, X., Knipper, A. L., Grandjacquet, C., Sbortshikov, I. M., Geyssant, J., Lepvrier, C., Pechersky, D. H., Boulin, J., Sibuet, J. C., Savostin, L. A., Sorokhtin, O., Westphal, M., Bazhenov, M. L., Lauer, J. P. and Biju-Duval, B. (1986) Geological evolution of the Tethys belt from the Atlantic to the Pamirs since the LIAS. *Tectonophysics* 123: 241–315.

Fleche, M. R., Camire, G. and Jenner, G. A. (1997) Geochemistry of post-Acadian, Carboniferous continental intraplate basalts from the Maritimes Basin, Magdalen Islands, Québec, Canada. *Chemical Geology* 148: 115-136.

Gust, D. A., Arculus, R. A. and Kersting, A. B. (1977) Aspects of magma sources and processes in the Honshu arc. *The Canadian Mineralogist* 35: 347-365.

Harangi, S., Downes, H., Thirlwall, M. and Gmeling, K. (2007) Geochemistry, petrogenesis and geodynamic relationships of Miocene calc-alkaline volcanic rocks in the western Carpathian arc, eastern Central Europe. *Journal of Petrology* 48(12): 2261-2287.

Hooper, R. J., Baron, I., Hatcher, R. D. and Agah, S. (1994) The development of the southern Tethyan margin in Iran after the break-up of Gondwana implications for the Zagros hydrocarbon province. *Geoscience (Geological Survey of Iran)* 4: 72–85.

Hosseinkhani, A., Karimpour, M. H. and Malekezadeh Shafaroudi, A. (2015) Petrography, mineralogy of alteration zones, and geochemical exploration in Southwest of Sorkh Kuh prospect area, Eastern Iran. *Journal of Crystallography and Mineralogy* 23(3): 403-416 (in Persian)

Hou, Z. Q., Gao, Y. F., Qu, X. M., Rui, Z. Y. and Mo, X. X. (2004) Origin of adakitic intrusives generated during mid-Miocene east-west extension in southern Tibet. *Earth and Planetary Science Letters* 220:

139-155.

- Jung, D., Keller, J., Khorasani, R., Marcks, C., Baumann, A. and Horn, P. (1983) Petrology of the tertiary magmatic activity the northern Lut area, East of Iran. Ministry of mines and metals. Geological Survey of Iran, Geodynamic Project (Geotraverse) 51: 285-336.
- Karimpour, M. H., Stern, C. R., Farmer, L., Saadat, S. and Malekezadeh, A. (2011) Review of age, Rb-Sr geochemistry and petrogenesis of Jurassic to Quaternary igneous rocks in Lut Block, Eastern Iran. *Geopersia* 1(1): 19-36.
- Karimpour, M.H., Malekzadeh Shafaroudi, A., Farmer, L. and Stern, C. R. (2012) Petrogenesis of granitoids, U-Pb zircon geochronology, Sr-Nd petrogenesis of granitoids, U-Pb zircon geochronology, Sr-Nd isotopic characteristics, and important occurrence of Tertiary mineralization within the Lut block, eastern Iran. *Journal of Economic Geology* 1(4): 1-27 (in Persian).
- Kluyver, H. M., Griffis, R. and Alavi, M. (1981) Explanatory text of the Nayband. Geological Quadrangle Map 1:250000, No. J8, Geological Survey of Iran, Tehran (in Persian).
- Lotfi, M. (1982) Geological and geochemical investigations on the volcanogenic Cu, Pb, Zn, Sb ore-mineralizations in the Shurab-GaleChah and northwest of Khur (Lut, east of Iran). Ph.D. thesis, der Naturwissenschaften der Universität Hamburg, Hamburg, Germany.
- Malekzadeh Shafaroudi, A. and Karimpour, M. H. (2013) Petrography and petrogenesis of intrusive rocks in the northeast of Nayband, East of Iran. *Petrology* 4(16): 105-124 (in Persian).
- Malekzadeh Shafaroudi, A., Karimpour, M. H. and Stern, C. R. (2012) Zircon U-Pb dating of Maherabad porphyry copper-gold prospect area: evidence for a late Eocene porphyry-related metallogenic epoch in east of Iran. *Journal of Economic Geology* 3: 41-60 (in Persian).
- Martin, H. (1995) The Archaean grey gneisses and the genesis of the continental crust. In: *The Archaean crustal evolution* (Ed. Condie, K. C.) 205-259, Elsevier, Amsterdam.
- Martin, H. (1999) Adakitic magmas: modern analogues of Archaean granitoids. *Lithos* 46: 411- 429.
- McKenzie, D. P. and O'Nions, R. K. (1995) The source regions of Ocean Island Basalts. *Journal of Petrology* 36: 133-159.
- Middlemost, E. A. K. (1985) *Magmas and Magmatic Rocks: An Introduction to Igneous Petrology*. Longmans, London.
- Moradi Noghondar, M., Karimpour, M. H., Malekzadeh Shafaroudi, A., Farmer, L. and Stern, C. (2012) Geochemistry, zircon U-Pb geochronology and Rb-Sr and Sm-Nd isotopes of Najmabad monzonitic rocks south of Ghonabad. *Petrology* 3(11): 77-96 (in Persian).
- Pearce, J. A. and Norry, M. J. (1979) Petrogenetic implications of Ti, Zr, Y and Nb variation in volcanic rocks. *Contributions to Mineralogy and Petrology* 69: 33-47.
- Pearce, J. A. and Parkinson, I. J. (1993) Trace element models for mantle melting: application to volcanic arc petrogenesis. In: *Magmatic Processes in Plate Tectonics* (Eds. Prichard, H. M., Albaster, T., Harris, N. B. W. and Neary, C. R.) 76: 373-403. Geological Society of London Special Publication.
- Pearce, J. A., Harris, N. B. W. and Tindle, A. G. (1984) Trace element discrimination diagrams for the tectonic interpretation of granitic rocks. *Journal of Petrology* 25: 956-983.
- Reagan, M. K. and Gill, J. B. (1989) Coexisting calc-alkaline and high niobium basalts from Turrialba volcano, Costa Rica: Implication for residual titanates in arc magma source. *Journal of Geophysical Research* 94: 4619-4633.
- Rollinson, H. R. (1993) *Using Geochemical Data: evaluation, presentation, interpretation*. Longman, Harlow, England.

- Scotese, C. R. (2001) Digital Paleogeographic Map Archive on CD-ROM, PALEOMAP Project. Arlington, Texas.
- Shand, S. J. (1943) Eruptive Rocks; Their Genesis, Composition, Classification, and their Relation to Ore Deposits, with a chapter on Meteorites (revised second edition). Hafner Publishing Company, New York.
- Shaw, D. M. (1970) Trace element fractionation during anataxis. *Geochimica et Cosmochimica Acta* 34: 237-243.
- Sun, S. S. and McDonough, W. F. (1989) Chemical and isotopic systematic of oceanic basalts: implications for mantle composition and processes. In: *Magmatism in the Ocean Basins* (Eds. Saunders, A. D. and Norry, M. J.) 42: 313-345. Geological Society of London Special Publication.
- Tarkian, M., Lotfi M. and Baumann, A. (1983) Tectonic, magmatism and the formation of mineral deposits in the central Lut, east Iran, Ministry of Mines and Metals. Geological Survey of Iran, Geodynamic Project (Geotraverse) 51: 357-383.
- Taylor, S. R. and McLennan, S. M. (1985) The continental crust, its composition and evolution, an examination of the geochemical record preserved in sedimentary rocks. Blackwell, Oxford.
- Tirrul, R., Bell, I. R., Griffis, R. J. and Camp, V. E. (1983) The Sistan suture zone of eastern Iran. *Geological Society of America Bulletin* 94: 134-156.
- Wang, K., Plank, T., Walker, J. D. and Smith, E. I. (2002) A mantle melting profile across the Basin and Range, SW USA. *Journal of Geophysical Research* 107: 5-21.
- Whalen, J. B., Currie, K. L. and Chappell, B. W. (1987) A-type granites: geochemical characteristics, discrimination and petrogenesis. *Contributions to Mineralogy and Petrology* 95: 407-419.
- Wilson, M. (1989) Igneous Petrogenesis: a global tectonic approach. Chapman & Hall, New York.
- Woodhead, J., Eggins, S. and Gamble, J. (1993) High field strength and transition element systematic in island arc and back-arc basin basalts: evidence for multi-phase melt extraction and a depleted mantle wedge. *Earth and Planetary Science Letters* 114: 491-504.

Petrology, geochemistry and tectonic setting of intrusive rocks in the southwest of Sorkh-Kuh (Lut Block, eastern Iran)

Ahmad Hosseinkhani, Mohammad Hassan Karimpour *, Azadeh Malekzadeh Shafaroudi
Research Center for Ore Deposits of Eastern Iran, Ferdowsi University of Mashhad, Mashhad, Iran

Abstract

The southwest of Sorkh-kuh area is located in 120 km SW of Birjand city and it is a portion of the Tertiary volcanic-plutonic rocks in the west of the Lut block. Geology of this area comprising andesitic and basaltic volcanic rocks, which have intruded by intrusive rocks, at different stage, such as hornblende diorite, hornblende microdiorite, hornblende diorite porphyry, hornblende quartz diorite porphyry and biotite quartz monzonite caused extensively alteration in volcanic rocks. The texture of intrusive rocks is porphyritic, granular and poikilitic. Hornblende and plagioclase are two common minerals in these intrusive rocks and biotite and quartz are common in biotite quartz monzonite. Composition of intrusive rocks show metaluminous to low peraluminous nature with calc-alkaline and sometimes tholeiitic affinities in diorites. These intrusive rocks belong to volcanic granite arc and magnetite (or I) series granitoids. Enrichment of LILE (Ba, K, Cs and Sr), depleted of HFSE (Nb, P, Ti) and enrichment of LREE versus HREE indicated that magma formed in subduction zone environment. The high ratios of Eu/Eu* (0.8-0.9 in all diorite rocks and 1.5 in biotite quartz monzonite) and also enrichment of Sr especially in biotite quartz monzonite (900 ppm) shows there were no plagioclase in the source of magma. Depletion of Nb and high amount of Zr/Nb show low contamination of crust in magma. The (La_N/Yb_N) is low between 5-9. The magmatic source of intrusive rocks had been generated from 1 to 5% of partial melting of garnet-spinel lherzolite (low garnet) and in 60 km asthenosphere depth.

Key words: Tholeiite, Calc-alkaline, Granitoid, Intrusive rocks, Southwest of Sorkh-kuh, Lut block

* karimpour@um.ac.ir

Copyright©2016, University of Isfahan. This is an Open Access article distributed under the terms of the Creative Commons Attribution License (<http://creativecommons.org/licenses/BY-NC-ND/4.0>), which permits others to download this work and share it with others as long as they credit it, but they cannot change it in any way or use it commercially.